

二维随机三角点阵上 $SU(3) \times SU(3)$ 手征模型 β 函数的研究*

陈天崧 索存川 黄五群

(南开大学物理系,天津)

摘 要

用蒙特卡洛重正化群方法讨论了二维随机三角点阵上 $SU(3) \times SU(3)$ 手征模型的 β 函数行为, 得出它的行为与四维 $SU(3)$ 规范理论模型的 β 函数相似, 但强、弱耦合区的过渡更为平滑, 不存在尖锐的小峰, 标度区从 $\beta = 5.8$ 开始.

我们已用蒙特卡洛重正化群(简称 MCRG)方法研究了二维随机三角点阵上 $SU(2) \times SU(2)$ 手征模型的 β 函数^[1]. 结果表明, 其 β 函数行为与四维 $SU(2)$ 规范模型的 β 函数行为十分相似, 但强、弱耦合区的过渡更为平滑, 不存在由瞬子效应所引起的尖锐小峰. 在此基础上, 本文在二维随机三角点阵上, 用 MCRG 方法对 $SU(3) \times SU(3)$ 手征模型进行研究, 讨论此模型是否存在相变及 β 函数行为, 并与四维 $SU(3)$ 规范模型的结果进行比较.

$SU(3) \times SU(3)$ 手征模型是在点阵的第 i 个格点上放置一个 $SU(3)$ 群元 U_i , 且仅考虑最近邻的相互作用, 其作用量为

$$\begin{aligned} S &= \sum_{\langle ij \rangle} \left(1 - \frac{1}{3} \operatorname{ReTr} \lambda_{ij} U_i^\dagger U_j \right) \\ &= \sum_i \left[1 - \frac{1}{3} \operatorname{ReTr} \left(U_i^\dagger \sum_{l_i} \lambda_{i,l_i} U_{l_i} \right) \right]. \end{aligned} \quad (1)$$

其中 l_i 为格点 i 之最近邻格点标号, λ_{i,l_i} 为权因子, 本文取等权情况, 即取 $\lambda_{i,l_i} = 1$. 配分函数为

$$z = \int e^{-\beta S} dU. \quad (2)$$

其中 $\beta = 6/g^2$. 在蒙特卡洛模拟中, 首先将 $SU(2)$ 群元参数化: $a = a_0 \mathbf{1} + i\vec{\sigma} \cdot \vec{a}$ 及 $a_0^2 + |\vec{a}|^2 = 1$, 其中 $\vec{\sigma}$ 为泡利矩阵.

为了提高程序进行的速度, 我们采用文献[1]及[2]中介绍的混合的 heat bath-metropolis 方法. 考虑单一格点上的群元. 令 U_0 为要被更新的格点上的 $SU(3)$ 群元, 且 R 为其最近邻格点上群元之和, 从 $U_0 R$ 矩阵的左上角(或右上角, 或四个角元素)取出一

本文1989年10月19日收到.

* 国家自然科学基金资助课题.

个 2×2 矩阵 b , 把 b 中的么正部分取出, 记为 kr , 其中 r 是一个 $SU(2)$ 矩阵, k 为么正部分的行列式值^[2]. 通过在补加行和列使对角元素为 1, 其余元素为零的方法, 可将 ar^+ 扩充为一个 $SU(3)$ 矩阵. 令 U' 为新的该格点上的群元 $U' = ar^+U_0$, 则产生 a_0 的几率为

$$\begin{aligned} p(a_0)da_0 &= z^{-1} \sqrt{1 - a_0^2} e^{2\beta k a_0/3} \\ &= z^{-1} \sqrt{1 - a_0^2} e^{2\beta \bar{k} a_0/3} e^{2\beta(k - \bar{k})a_0/3}. \end{aligned} \quad (3)$$

\bar{k} 为自由参数. 由混合的 heat bath-metropolis 方法, 首先在 $[0, 1]$ 区间中产生一均匀分布的随机数 x , 由

$$x = z^{-1} \int_{-1}^{a_0} \sqrt{1 - l^2} e^{2\beta \bar{k} l/3} dl. \quad (4)$$

反求出 a_0 作为试验值. 然后用 metropolis 方法检验此 a_0 是否被接受, 接受的几率为

$$p = \begin{cases} 1 & \text{若 } (k - \bar{k})[a_0(\text{新}) - a_0(\text{老})] > 0 \\ \exp\{2\beta(k - \bar{k})[a_0(\text{新}) - a_0(\text{老})]/3\} & \text{其它} \end{cases} \quad (5)$$

如果新的 a_0 未被接受, 则保持原来的群元, 否则, 随机地取两个角度 $\theta \in [0, \pi]$, $\varphi \in [0, 2\pi]$, 求出 $\vec{a}(a_1, a_2, a_3)$:

$$\begin{aligned} a_1 &= \sqrt{1 - a_0^2} \cos \theta \\ a_2 &= \sqrt{1 - a_0^2} \sin \theta \cos \varphi \\ a_3 &= \sqrt{1 - a_0^2} \sin \theta \sin \varphi. \end{aligned} \quad (6)$$

从而得到对左上角(或右上角, 或四个角元素)更新后的群元. 按上述方法, 把每个格点上的群元更新一遍, 便可得到新的平衡组态. 为达到较高的接收率, 我们取 \bar{k} 为 k 的平均值.

在蒙特卡洛重正化群的研究中, 为求得模型的 $\Delta\beta(\beta)$ 函数及 β 函数, 我们采用描述于文献[3]及[4]中的标准方法, 计及的关联函数为:

$$\begin{aligned} \Gamma_1 &= \frac{1}{3} \sum_{\substack{(ij) \\ \text{最近邻对}}} \text{Tr} U_i^+ U_j, \\ \Gamma_2 &= \frac{1}{3} \sum_{\substack{(ij) \\ \text{次近邻对}}} \text{Tr} U_i^+ U_j. \end{aligned} \quad (7)$$

块化后的群元取为使得 $\text{ReTr}(U_i^+ U_{i'})$ 最大的 U_i ^[5], 其中 $U_{i'} = \sum_{i \in i'} U_i$. 为了求得满足上述条件的 U_i , 将 $U_{i'}$ 进行极分解, $U_{i'} = UD = U_1 e^{i\phi} D$, U 为么正矩阵, $U_1 \in SU(3)$, D 为正定厄米矩阵. 在我们关心的耦合常数范围内 U_1 近似为 U_i ^[5]. 在具体计算中, 我们用求特征根的方法求得 U_i .

为了减少计算量, 希望只经过少数几步块化尽可能快达到固定点. 为此, 采用改进的块化方法^[6]: 第 l 块的群元取值为 μ_l 的几率为

$$\exp(p \text{Tr} \mu_l^+ U_{l'}). \quad (8)$$

其中 $\mu_l \in SU(3)$. p 为一个自由参数. 一般取 $p = c\beta$, c 是一个常数, 由关联函数的匹配条件

$$\Gamma(\beta, p, L)_{(K)} = \Gamma(\beta', p, L/b)_{(K-1)}. \quad (9)$$

及大 β 时微扰论的结果^[7]共同来决定,我们调试的结果取 $c = 12.5$. (9)式中 L 为大点阵的尺度大小, d 为块化的标度因子.

用文献[1]中所述的方法,构造格点数分别为 320 及 160 的大、小两个点阵,块化的标度因子 $b = \sqrt{2}$.

各次迭代之间的自关联函数定义为

$$\Gamma(l) = \frac{\sum_n (\Gamma(l+n) - \bar{\Gamma})(\Gamma(n) - \bar{\Gamma})}{\sum_n (\Gamma(n) - \bar{\Gamma})^2}. \quad (10)$$

其中 $\bar{\Gamma}$ 为 Γ 之平均值. 在我们的计算中,独立组态可通过 6 步蒙特卡洛迭代产生. 关联函数的统计误差由

$$\Delta\Gamma = \sqrt{(\langle\Gamma^2\rangle - \langle\bar{\Gamma}\rangle^2)/(N-1)}. \quad (11)$$

给出,这是 N 是独立组态数.

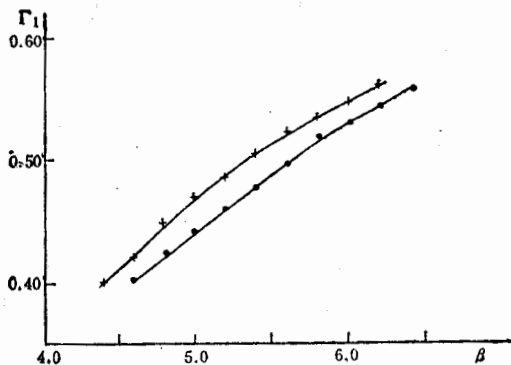


图 1
+160 sites ●320 sites

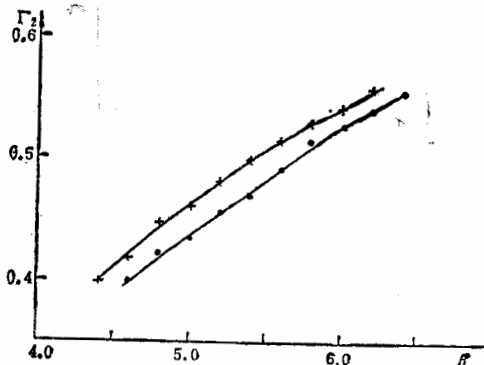


图 2
+160 sites ●160 sites

对大、小点阵,我们分别都做 900 次蒙特卡洛迭代,由于采用文[2]中的技巧,接受率接近 90%. 去掉前面 180 次达到热平衡的迭代,测量关联函数的平均值. 最近邻关联函数 Γ_1 及次近邻关联函数 Γ_2 随 β 变化的曲线示于图 1 及图 2. 由(11)式可得其统计误差 $\Delta\Gamma_1 < 0.005$, $\Delta\Gamma_2 < 0.005$. 由图看到,图 1 和图 2 中的两条曲线不相交,不会出现 $\Delta\beta = 0$ 的情况,所以二维 $SU(3) \times SU(3)$ 手征模型不出现相变点,这是与四维 $SU(3)$ 规范模型的性质一致的. 由图 1 中的两条曲线并借助线性内插法可得 $\Delta\beta(\beta)$ - β 曲线,示于图 3. 由图可见,当 $\beta > 5.4$ 后, $\Delta\beta \cong 0.250$,这与微扰论略去高阶项的结果^[7] $\Delta\beta = 0.248$ 一致. 为求出该模型 β 函数曲线,用文献[4]中的方法,通过拟合 $\Delta\beta$ - β 曲线得出,当 $\beta > 5.0$ 时

$$\Delta\beta(\beta) = 2.26(\beta - 4.9)e^{-10.39(\beta-4.9)} + 0.250. \quad (12)$$

由

$$\beta(g) = -b_0 g^3 \prod_{i=2}^{\infty} \left(1 - \frac{d\Delta\beta(\beta)}{d\beta} \Big|_{\tau_i}\right), \quad b_0 = \frac{3}{16\pi}. \quad (13)$$

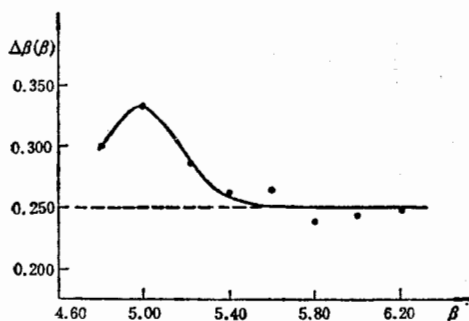


图 3

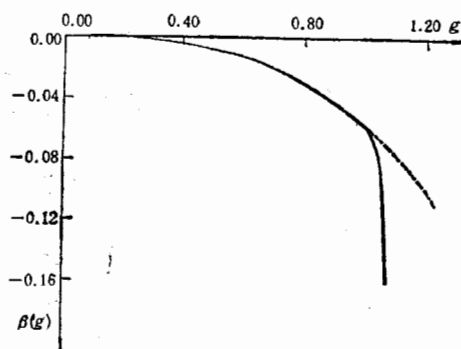


图 4

得 β 函数的行为, $\beta(g)-g$ 曲线示于图 4. 由图可以看到其行为与四维 $SU(3)$ 规范模型的 β 函数^[7]相似, 但从强耦合区至弱耦合区的过渡更为平滑, 不存在 $SU(3)$ 规范模型 β 函数行为中的尖锐小峰, 这与理论的预期是一致的. 由图 3 还可看出, 当 $\beta = 5.8$ 时, 开始进入渐近标度区.

参 考 文 献

- [1] 陈天崙, 黄五群, 金柯、索存川, 高能物理与核物理, V.13 (1989), 188.
- [2] H. Q. Ding, *J. Comp. Phys.*, 67(1986), 28.
- [3] R. H. Swendsen, *Phys. Rev.*, B20(1979), 2080.
- [4] C. M. Wu and P. Y. Zhao, *Phys. Lett.*, B178 (1986), 89.
- [5] R. Gupta, G. Guralnik, A. Patel, T. Warnock and C. Zemach, *Phys. Rev. Lett.*, 53(1984), 1721.
- [6] A. Hasenfratz, P. Hasenfratz, U. Heller and F. Karsch, *Phys. Lett.*, 140B (1984), 76.
- [7] F. Green and S. Samuel, *Nucl. Phys.*, B190(FS3) (1981), 113.

β FUNCTION FOR $SU(3) \times SU(3)$ CHIRAL MODEL ON 2-DIMENSIONAL RANDOM TRIANGLE LATTICE

CHEN TIANLUN SUO CUNCHUAN HUANG WUQUN

(Nankai University, Tianjin)

ABSTRACT

The β function behavior for $SU(3) \times SU(3)$ chiral model on 2-dimensional random triangle lattice has been studied with Monte Carlo renormalization group method. The behavior is similar to that of the 4-dimensional $SU(3)$ gauge theory, but it has a smoother transition from weak to strong coupling regions. There is no nonperturbative peak structure. The asymptotic scaling starts beyond $\beta = 5.8$.